

28. 信頼限界による百分率の差の
略式検定法

中央気象台技師 小河麻 正己

(昭和20年1月16日受付)

§1. 信頼限界による差の略式検定法

N 回の観測中或事象の生起回数が K 回、これを独立な N' 回の観測中 K' 回生起したとき、生起割合 $\frac{K}{N}$ 、
 $\frac{K'}{N'}$ の差の有意性を検定する方法としては Z 、 A 。

Fisher の直接確率計算法があるが、備つた場合の数が少し多くなると計算が相當に面倒になる。

こゝでは信頼限界を用ひてする簡単な近似検定法を述べようと思ふ。^(註1) これは幾つかの頻度割合 $\frac{K}{N}$ 、 $\frac{K'}{N'}$ 、 $\frac{K''}{N''}$ 、--- の大小を比較するとき特に便利であらう。

一般に二つの母集団に於て比較しようとする未知常数を θ 、 θ' とし、その評価量を夫々 T 、 T' 実現された標本によって計算したその値を夫々 T_0 、 T_0' ($T_0 > T_0'$) とする。今危険率 α を與へ、これ等の T_0 、 T_0' から求められる θ の信頼限界の下限を $\underline{\theta}$ 、 θ' の上限を $\bar{\theta}'$ とすれば、定義^(註3) によつて

$$P_r[T \geq T_0 | \theta = \underline{\theta}] = \alpha$$

$$\Pr[T' \leq T_0' | \theta' = \bar{\theta}'] = \alpha$$

こゝに、標本の大きさを一足にしておけば

$$\Pr[T \leq T_0 | \theta], \quad \Pr[T' \leq T_0' | \theta'] \text{ は } \left. \begin{array}{l} \\ \end{array} \right\} (*)$$

夫々 θ , θ' の増加函数である

ことを假定しておく。さて上記の信頼限界に於て

$$\bar{\theta}' < \underline{\theta} \quad (1)$$

であったとする。これは $\theta \leq \theta'$ なるにもかゝらず偶然に起きた關係であるかも知れない。そこで帰無假设

$$H: \theta \leq \theta'$$

を設けて見る。 $\theta \leq \theta_0 \leq \theta'$ なる往慮の θ_0 をとり。

$$\Pr[T \leq T_0 | \theta = \theta_0] \Pr[T' \leq T_0' | \theta' = \theta'_0] = \beta(\theta_0)$$

とおけば、(*)なる假定の下に於ては明かに

$$\Pr[T \leq T_0 | \theta] \Pr[T' \leq T_0' | \theta'] \leq \beta(\theta_0)$$

即ち假設 H を棄却するとき、第一種の過誤を犯す危険率は $\beta(\theta_0)$ 以下である。しかして

$$\bar{\theta}' \leq \theta_0 \leq \underline{\theta} \quad (2)$$

なる θ_0 に対しては明かに

$$\beta(\theta_0) \leq \alpha^2$$

(2)なる制限を設けないと $\max_{\theta_0} \beta(\theta_0)$ の大きさが問題であるが、殆んどすべての場合に

$$\max \beta(\theta_0) \leq (1+\alpha)^{\frac{N}{2}}$$

であることが保証されば、豫め $(1+\alpha)^{\frac{N}{2}}$ が十分小さい様に α を決めておいて、且、 θ_0 を計算し、もしも θ_0 が θ_0 ならば假説 H_0 を棄て、 H_1 を立てるとして差違がない。尚假定 (α) は α が通常遭遇する様な問題に於ては常に成立して居るかと見てよいであらう。

3.2. 百分率(頻度割合)の場合

百分率の場合について、上記の $(1+\alpha)^{\frac{N}{2}}$ がどの程度になるかを調べて見よう。

$\frac{K}{N} > \frac{K'}{N'}$ とし、両母集団の生起確率を P 、 P' とする。危険率 α に対し、 P の信頼限界の下限を P_1 、 P' の上限を P'_1 とする。(註-4) このとき $P'_1 < P_1$ であつたとし、前節に於て $\theta_0 = P$ とおけば

$$F_{K/N}(P) = P_x \left[\frac{X}{N} \geq \frac{K}{N} \mid P \right] = \frac{1}{B(K, N-K+1)} \int_0^P x^{K-1} (1-x)^{N-K} dx \quad (3)$$

$$F_{K'/N'}^*(P) = P_x \left[\frac{X}{N'} \leq \frac{K'}{N'} \mid P \right] = \frac{1}{B(K'+1, N'-K')} \int_P^1 x^{K'+1} (1-x)^{N'-K'-1} dx \quad (4)$$

であるから

$$\beta(p) = F_{K/N}(p) F_{K'/N'}^*(p) \quad (5)$$

然るに...

$$F_{K/N}(p) = F_{K'/N'}(\bar{p}') = \alpha \quad (6)$$

であるから、 $p = \bar{p}' + h$ ($h > 0$) , $p = \bar{p}' + h + x$
とあき,

$$f(x) = \beta(\bar{p}' + h + x) - \alpha^2$$

とあけば、(5)から

$$f(x) = \alpha f_1(x) - \alpha f_2(x) - f_1(x) f_2(x) \quad (7)$$

但し

$$f_1(x) = \frac{1}{B(K, N-K)} \int_{\bar{p}' + h}^{\bar{p}' + h + x} x^{K-1} (1-x)^{N-K} dx \quad (8)$$

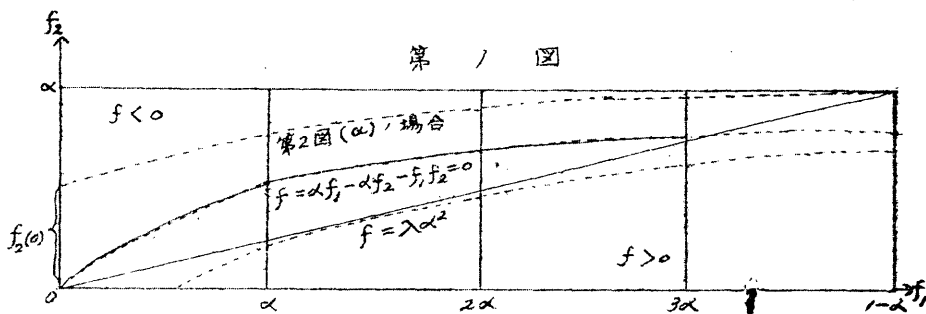
$$f_2(x) = \frac{1}{B(K'+1, N-K')} \int_{\bar{p}'}^{\bar{p}' + h + x} x^{K'-1} (1-x)^{N-K'-1} dx$$

となる。この $f(x)$ の大きさを $x > 0$ について調べ
れば十分である。

f_1, f_2 を直角座標にとるとき

$$f = 0$$

は第 1 図の実線で示した様な双曲線となる。



この双曲線の上側に於ては $f < 0$, 下側では $f > 0$ である、 x が 0 からだんだん大きくなるとき、 $f_1(x)$ は 0 から單調に増加して $\bar{p}' + \lambda + x = I$ のとき $f_1(x) = 1 - \alpha$ となり、 $f_2(x)$ は $f_2(0) > 0$ なる値から單調に増加して最後に ∞ になる（第2図(a)参照）。この時第1図に於て点 (f_1, f_2) は f_2 軸上の点 $(0, f_2(0))$ から出發して、点 $(1 - \alpha, \infty)$ まで單調に変化する、その曲線が f の負域にあれば $\beta(x) < x^2$ であるが、これがどの程度まで f の領域に侵入して働く可能性があるかが問題となる。

(8) から

$$\frac{d^2 f_2}{d f_1^2} = A(x) \left\{ (N - N') (\bar{p}' + \lambda + x) - (K - K' - 1) \right\} \quad (9)$$

を得る。こゝに $A(x)$ は常に正の函数である。

さて、 $f(x)$ が極大になり得るのは、主として $f_1(x)$ が急激に増加する附近であつて

+

$$\frac{K'}{N'} < \bar{p}' + \alpha + x \lesssim \frac{K-1}{N} \quad (10)$$

ある範囲の x に対しては、明らかに

$$(N - N')(\bar{p}' + \alpha + x) - (K - K' - 1) < 0 \quad (11)$$

又 N' , K' がそれそれぞれ N , K に比し著しく大きくなる場合には $\frac{K}{N}$ の附近の $\bar{p}' + \alpha + x$ に対し、やはり (11) が成立つ、この様な x の範囲に於ては (9) により (f_1, f_2) の曲線は上に凸である。 x が更に右方に動くときは、 f_{K+N} が著しく小さくなるために $f < 0$ 、即ち曲線は負波にある、依て大抵の場合には曲線 (f_1, f_2) は原点と $(1-\alpha, \alpha)$ を結ぶ直線の上側にあると見てよい、双曲線

$$\alpha f_1 - \alpha f_2 - f_1 f_2 = \lambda \alpha^2 \quad (12)$$

がこの直線に切する様に入を走めると

$$\lambda = \frac{(2\alpha - 1)^2}{4\alpha(1-\alpha)} \quad (13)$$

を得る、この λ に対する

$$f(x) \leq \lambda \alpha^2 \quad \text{即ち } \beta(p) \leq (1+\lambda) \alpha^2 \quad (14)$$

が近似的に成立つ。

百分率の信頼限界は F 分布の表を用ひて、求められるが、統計教科書（統計科学研究會編）には $\alpha = 20\%$ に対する表があるから、 $\alpha = 0.2$ にと

ると、(14) は

$$\beta(p) \leq 0.06$$

となり、5% 危険率による通常の検定と殆んど同程度である。

第 2 図には $\alpha = 0.2$ に対して $p' < p$ なる場合の三つの例に付き数値計算を行った結果を示した。実線は $F_{K/N}(p)$, $F_{K'/N'}^*(p)$ の曲線, 点線の曲線が $p(p)$ を有して、これ等の例では何れも $\beta(p) \leq 0.03$ となって居る。第 1 図の β の領域における点線の曲線は第 2 図 (α) に對応するものである。

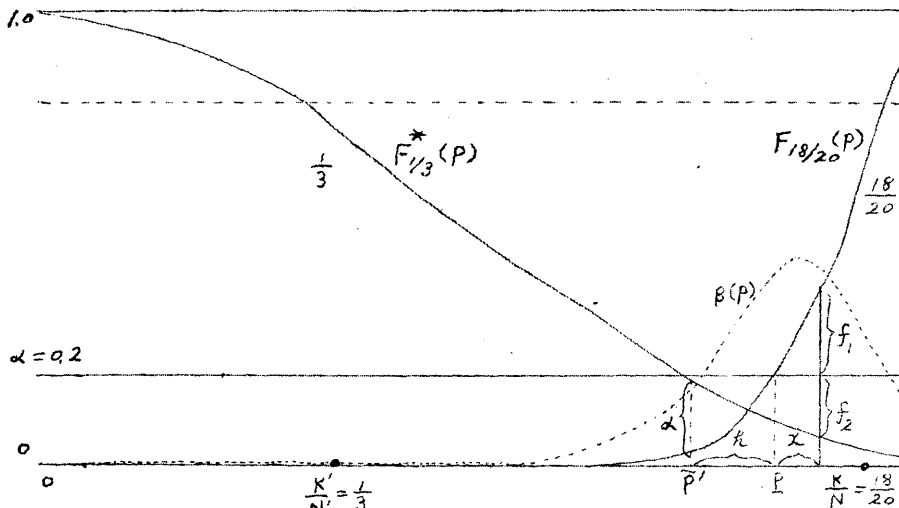
$\beta(p)$ の大きさの評價を厳密に行ふことは可也繁雑になる様に思はれるが (註 5) 上記の大體把法を方法に於て問題にならなければ N が N' に比し着しく大きく、 $F_{K'/N'}^*(p)$ が緩やかに減少するに対し、 $F_{K/N}(p)$ が急激に増加する場合である。(註 6) このとき α が十分小さいと、 $\beta(p)$ は可成り大きくなる可能性がある。この $\max \beta(p)$ と N, N', K, K' との関係をはつきりと求めるることは、残された問題であるが、第 2 図に例示した程度の場合には、信頼限界によつて十分に百分率の差を検定することができると考へられる。

4104

8

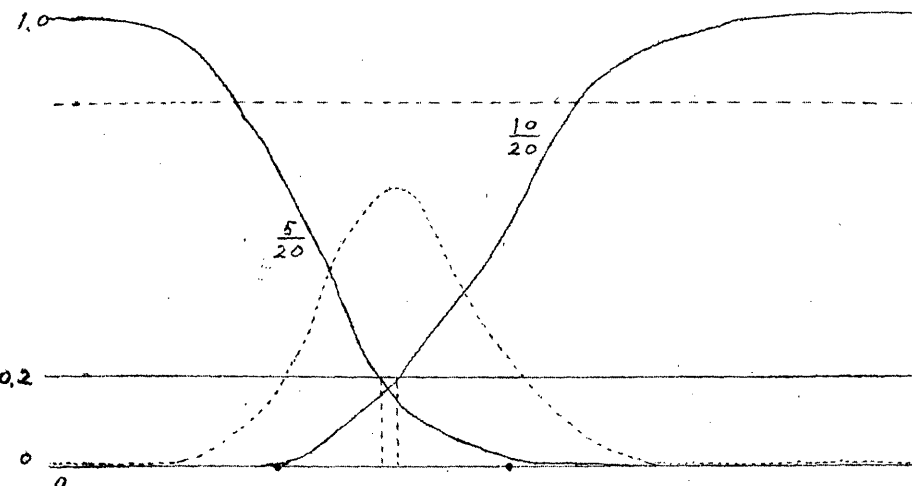
第 2 図

$$(a) \frac{K}{N} = \frac{18}{20}, \quad \frac{K'}{N'} = \frac{1}{3}$$

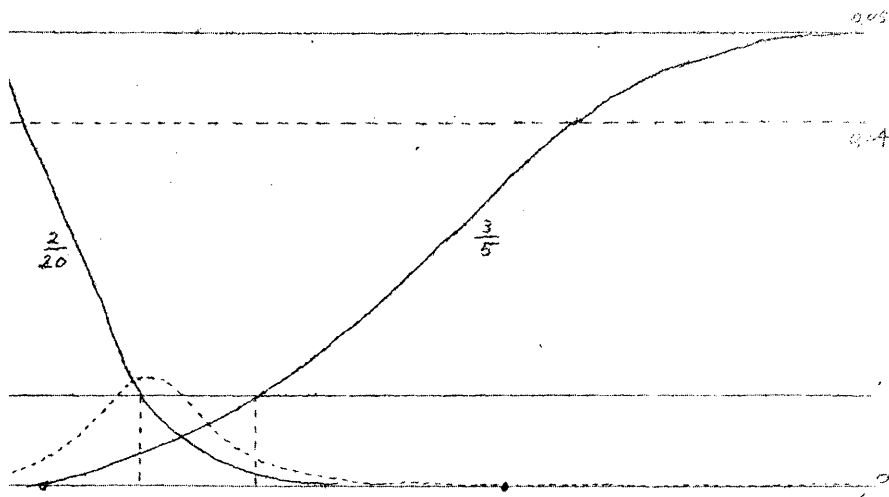


第 2 図

$$(b) \frac{K}{N} = \frac{10}{20}, \quad \frac{K'}{N'} = \frac{5}{20}$$



$$(C) \quad \frac{K}{N} = \frac{3}{5}, \quad \frac{K'}{N'} = \frac{3}{20}$$



(註 1) 統計数値表 9 の更次は増山元三郎「教科書の纏め方と立て方」34頁参照。

(註 2) 二つの相関係数の差の判定に信頼限界を應用するについては筆者が農業集誌第三輯 20, 296-311 頁中に述べたことがある。

(註 3) 本講究録（第一巻第十三號）に於ける筆者の「信頼限界について」の項を参照。

(註 4) 計算法については前註「信頼限界について」の例 2 を参照。

(註 5) 適當な方法がありましたら、御教示を願ひます。

(註 6) この様な場合には、危険率 $\alpha = 0.05$ に対する p' の上限 \bar{p}' を求め、 $\bar{p}' < \frac{k}{N}$ なら、その差を有意と看做してもよいであらう。